

객체 기반 스테레오 동영상 부호화

권 순 기, 배 태 민, 한 규 별, 하 영호

성북대학교 전자전기공학부

702-701 대구광역시 북구 산격동 1370번지

e-mail: yhha@ee.kyungpook.ac.kr

Object-based Stereo Sequence Coding

Sun-Kyu Kwon, Tae-Min Bae, Kyu-Phil Han, and Yeong-Ho Ha

School of Electronic & Electrical Eng., Kyungpook Nat'l Univ.

1370 Sankyuk-dong, Puk-gu, Taegu 702-701, Korea

요약

본 논문에서는 객체기반의 스테레오 동영상 부호화 기법을 제안한다. 제안된 부호화기는 움직임, 면이, 그리고 면의 정보를 이용하여 객체를 추출하고 객체의 움직임과 면이 정보를 예측하여 부호화함으로써 기존의 블록 기반 방법에 비해 성능을 높일 수 있었다. 또한 새롭게 발생되는 영역과 기존 영역의 소멸 및 변형은 부호화 효율을 떨어뜨리게 되는데, 이를 해결하기 위해 새로운 객체생성 방법이 제안되었다. 실험을 통하여 제안된 객체기반 부호화기는 기존의 블록기반 부호화기에서 나타나는 불확실 및 보조키로 현상을 제거할 수 있었고 복원화점과 부호화율을 개선시킬 수 있었다.

I. 서론

정보화가 가속화됨에 따라 문자뿐만 아니라 오디오 및 비디오를 포함하는 멀티미디어 정보에 대한 수요가 급증하게 되었고 이런 복합정보의 효율적인 저장과 전송을 위해 활발한 연구가 진행되고 있다. 특히 실시간 영상통신(visual communication)에 관계된 JPEG, MPEG1 및 MPEG2 그리고 H.263에 기반한 2-D 디지털 영상통신기술들이 급속한 발전을 거듭하여 현재 여러 제품에 상용화되고 있다. 그러나 이 기술들은 가상현실의 도래로 인해 수반된 3차원적 혁신들을 대부분에는 불충분하다고 할 수 있다. 현재 상보통신의 발전 방향을 볼 때, 향후 가상현실과 인체영상에 대한 사용자의 수요증가로 인해 스테레오 시각에 기초한 3차원 영상암축기술과 3차원 영상표현시스템이 요구될 것이다. 이들이 미래 영상매체의 핵심기술이 될 전망이다.

가장 현실에 대한 관심이 증가함에 따라 3차원 영상을 경험할 수 있는 위해 영상 부호화기가 필요하며 이를 스테레오 동영상은 영상연간의 시간적 중복성을 두 스테레오 영상사이의 공간적 중복성을 가지고 있기 때문에 정확한 움직임과 면이를 추정한다면 전송효율을大幅화 시킬 수 있다.

스테레오 동영상연은 좌우 두 개의 단일 동영상으로 이루어져 있으므로 정보량이 기존의 동영상을 보다 2배 이상 크므로 효율적인 저장이나 전송을 위해서 좌우 영상사이의 공간적 중복성과 각 영상의 내에서의 시간적 중복

성을 효과적으로 제거해야만 한다. 초기에 연구된 스테레오 영상 부호화기는 기존의 MPEG방식을 스테레오 영상에 적용하여 단일 영상 망상의 시간적 중복성을 움직임(motion)과 공간적 중복성을 면이(disparity)를 각각 예측함으로써 압축하게 된다. 그러나 면이 정보는 움직임 정보와 특성이 달라 단일 영상 망상으로는 정확한 면이를 추출하기 어렵고, MPEG방식의 부호화는 시uang간적인 상관성을 고려하기가 어렵기 때문에 압축률과 예측능력에 한계가 있다. 또한, 면이 정보는 영상의 3차원 정보를 가지고 있기 때문에 효과적으로 면이를 예측하여 부호화할 수 없다. 그래서 절차 스테레오 영상의 특성을 고려할 수 있는 객체(object) 기반의 부호화 기법에 대한 연구가 증가하고 있다.^[1]

객체기반 부호화 기법은 움직임과 면이가 둘일한 부분을 영상에서 객체로 추출하여 객체 단위로 부호화 함으로써 영상을 압축하는 방식이다. 객체기반 부호화는 MPEG 방식의 2차원적 움직임 예측 부호화에 비해 3차원적인 움직임을 예측하기 때문에 영상을 정확하게 예측할 수 있다. 또한, 지금까지 연구되어진 스테레오 영상에 대한 중대의 기법을 쉽게 적용할 수 있으므로 정확한 면이 예측과 추출된 면이 정보의 압축에서도 효율적인 부호화를 할 수 있다.

본 논문에서는 움직임이나 면이가 제대로 추정되지 않는 부분을 진자리과정을 통하여 찾고 객체추출에서 이 부분을 제외시킴으로써 잘못된 객체추출에 의한 영상예측오차를 줄일 수 있었다. 또한 움직임과 면이의 유사성과 함께 밝기값을 고려하여 좀 더 정확한 객체를 추출하였다. 객체기반 부호화의 경우 새로운 영상영역의 발생과 폐색영역(occlude region), 객체에 주요차가 있는 영역에 대한 객체갱신이 요구되는데, 본 논문에서는 이런 부분에 대해서 객체추출과정을 수행하여 새로운 객체를 추출하였다. 부호화 과정은 그림 1에 시와 같이 먼저 입력된 좌우영상에 대해 전처리(preprocessing)부에서 객체추출이 이루어진 영역을 찾고 면이와 움직임을 화소단위로 예측한다. 예측된 면이와 움직임이 유사한 영역은 객체로 추출하고 객체단위의 움직임과 면이를 추정한다. 우영상은 객체의 움직임 정보를 이용하여 영상예측을 하고 폐색영역과 예측오차가 큰 영역에 대해서 객체갱신을 수행한다. 좌영상에서는 면이정보와 우영상의 객체 움직임 정보를 이용하여 좌영상의 움직임 정보를 유도하여 영상을 예측한다. 또 구조되는 신체영역오차를 줄이기 위해 시계를 다시 구한다.

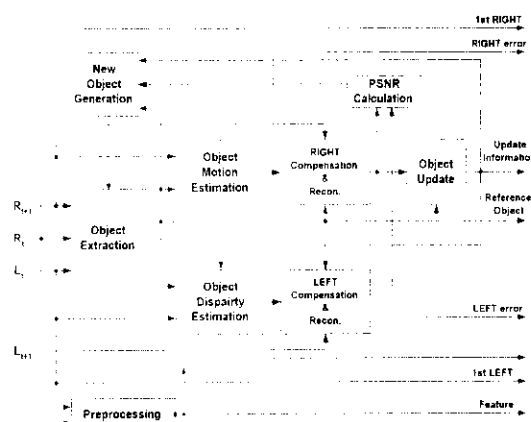


그림 1. 새아된 객체기반 스테레오 총영상 부호화기의
플로트

II. 객체 추출을 위한 전처리과정

객체를 추출할 때 움직임 정보나 범이 정보를 이용하여 밤기값이 유사해면서 움직임이 거의 없는 비액체영역에서는 정화한 객체를 추출하기 어렵다. 비액체영역에서의 잘못된 객체추출은 영상내의 객체수를 증가시켜 예측오차 및 진동정보량을 증가시킨다. 그러므로 비액체영역을 움직임이나 범이 추정 어진에 추출해냄으로써 객체 추출에서 제외시킬 수 있다.

움직임이나 범이 정보 예측된 예측된 값의 신뢰도를 높이기 위해서는 예측된 범위의 밤기 차이가 사용수용된다. 이러한 사실에 기반하여 텁색영역에서 추정되는 범위의 밤기 차이에 대한 원자료 구함으로써 객체영역과 비액체영역을 구분할 수 있다.

$$\text{Var} \left[\sum_{(i,j)} (R(i,j) - L(i+k, j+l)) \right] < T_{var} \quad (1)$$

이기 예사 A 는 텁색영역을, T_{var} 는 분산치값을 의미한다.

다음은 밤기값 차이의 원자에 대한 고려만으로는 정화된 비액체영역의 분리가 불가능하다. 그러나므로 이런 영역으로는 분류된 후 밤기 평균값이 유사한 주변률들을 병합하는 과정을 추가하였다.

$$\frac{1}{N} \sum R(i,j) - \frac{1}{N} \sum_{(k,l) \in A} R(k,l) < T_{ave} \quad (2)$$

은 병합에 사용된 수식이다. 여기서 N 은 한 화소 내의 화소의 개수, $A_{(i,j)}$ 는 밤기 차 원자에 대해서 예측된 비액체영역 (i,j) 의 원점영역, 그리고 T_{ave} 는 분산치값이다.

III. 객체 추출

객체기반 부호화기는 객체단위로 움직임과 범이 정보를 추정해서 전송하기 때문에 객체추출 성능이 중요하

다. 움직임 정보와 범이 정보가 유사한 영역을 객체로 추출하면서 객체단위의 움직임 및 범이 정보추정의 신뢰도(reliability)를 높일 수 있다. 그림 2는 객체추출을 위한 순서도이다.

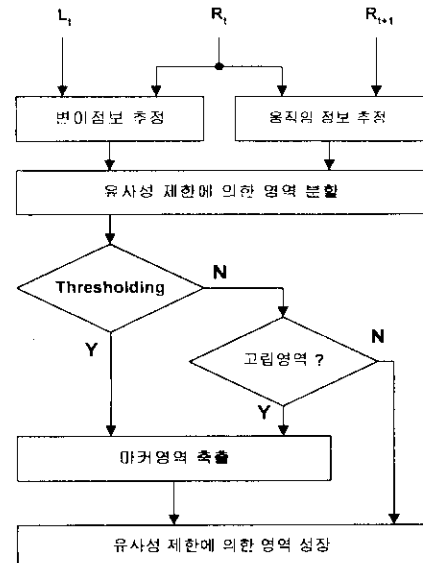


그림 2. 객체추출과정의 순서도

1. 범이 정보 예측

정화한 객체추출을 위해서는 객체의 경계부분이 명확히 구분되어야 하기 때문에 범이 정보를 화소단위로 추정해야 한다. 또한 탐색범위의 세밀성이 범이 정보를 추정하게 되면 연산량이 증가하고 정화된 주경이 어려워진다. 그러므로 적절한 탐색범위를 구하기 위해서 계층적 방법을 사용하였다.

객체영역내의 화소들에 대한 범이 정보 추정은 평탄제약(smoothness constraint)을 적용함으로써 정화한 범이 정보를 얻을 수 있다. 그러므로 아래의 비용함수를 최소화 하는 범이값을 선택하였다.

$$J = \sum_i (R(i,j) - L(i+j+d) + \alpha |d_j \cdot d| + \beta |d_i - d|) \quad (3)$$

여기서 d_j 는 이전 화소의 범이값, d_i 는 이전 라인의 범이값을 나타내고 d 의 범위는 $[d_{\min}, d_{\max}]$ 이다.^[9]

2. 움직임정보 예측

분체의 움직임이 없고 기메라가 움직이는 경우, 물체 심한 방법으로 움직임을 예측하면 진영역에서 움직임이 둘인하다. 이런 경우에는 예측된 움직임정보로 객체를 추출할 수 없다. 그러나 광류(optical flow)을 사용하면 밤기값의 변화에 대한 움직임이 추정되기 때문에 위와 같은 경우에서도 진영상에서의 광류는 대조다. 즉 광류는 진영상에 관계없이 객체추출이 가능하다.^[10]

3. 객체분할

본 논문에서는 범이와 움직임이 유사한 영역을 객체로 정의하였고 객체분할에서는 예측된 범이와 움직임

만 아니라 뺨기 정보를 고려하였다. 객체분할은 먼저 변이와 움직임이 동일한 영역에 대해서 단일큐(queue)를 사용하여 영역을 분할하지만 분할된 영역들이 모두 객체가 될 수 있는 것이 아니라, 영역의 크기가 분리되었거나 그때 객체주출을 위한 마커가 된다. 그러나 크기가 분리되었다면 차이도 그 영역 내에서 변이와 움직임 정보가 주위의 값들과 차이가 되다면 이 영역은 복원된 영역으로서 마커가 된다. 주출된 마커를 설정시키기 위해서는 다중큐(multi-queue)를 사용하는 대 영역성장시 성장작동은 변이와 움직임 정보에 맑기 정보가 참가되어야 한다. 왜냐하면 맑기 차이가 다른 경계부분은 서로 다른 객체의 경계가 될 가능성이 있기 때문이다. 또한 움직임에 의해 사라질 확률이 큰 주방수식 방향의 흡은 신 영역은 미리 중간값필터(medium filtering)로 제거시켰다.

IV. 객체기반 영상 예측

1. 좌우영상복원

첫 번째 프레임의 좌·우영상 그리고 두 번째 프레임의 우영상으로부터 추출된 객체를 기준(reference)객체로 정의한다. 이 객체의 기준영상은 첫 번째 프레임의 우영상이 되고 다음 프레임 우영상은 객체단위의 움직임을 추정함으로써 복원할 수 있다. 그러나 좌영상의 경우 기준객체의 기준영상이 우영상이므로 좌영상에 대한 객체단위의 움직임정보를 추정할 수 없다. 기준객체를 가지고 객체단위로 변이정보를 추정하였다. 하더라도 변이정보가 움직임정보보다 예측영상의 화질이 떨어지게 되므로 영상예측에 적용 사용할 수 없다. 좌영상에 대한 움직임정보는 아래의 식에서의 같이 현재 프레임에서의 변이정보, 다음 프레임에서의 변이정보와 우영상에 대한 움직임정보를 이용하여 구할 수 있다.

$$D_t = R_t - L_t \quad (4)$$

$$D_{t+1} = R_{t+1} - L_{t+1} \quad (5)$$

$$M_r = R_{t+1} - R_t \quad (6)$$

$$M_t = L_{t+1} - L_t = D_{t+1} - D_t + M_r \quad (7)$$

여기서 D_t 는 현재 프레임의 변이, D_{t+1} 은 다음 프레임의 변이, M_r 은 우영상의 움직임, M_t 은 좌영상의 움직임, L_t 은 좌영상의 맑기, R_t 은 우영상의 맑기로 나타낸다.

좌우영상은 영상내부호화(intraframe coding)해서 전송해야 하고 기준객체에 대한 정보, 객체단위의 움직임정보, 변이정보, 및 움직임예측오차를 전송해야 한다.

2. 객체의 개선

여러 프레임을 지나면서 기준객체는 객체단위 움직임 정보에 대해서 변화하게 된다. 객체끼리 겹쳐지기도 하고 객체가 존재하지 않는 영역도 생기게 된다. 또한 하나의 객체 내에서 변이와 움직임이 상이해서 두 개 이상의 객체로 분할되어야 한 필요가 있다. 객체가 존재하지 않는 부분이 커지게 되면 그 부분은 인트라부호화해야 하기 때문에 전송정보량은 급격히 증가하게 된다. 이 부분에 대해서는 화소단위의 변이와 움직임정보가 동일한 영역을 추출해서 새로운 객체로 인식하였다. 하나의 객체 내에서 움직임이 동일하지 않은 객체는 각 객체별로 PSNR을 구하고 쌍으로 찾아낼 수 있다. 이 객체에 대해서는 이런 객체주출 방법과 같이 변이정보와 움직임정보

그리고 맑기값 정보를 이용해서 다시 객체를 분할하였다. 위의 객체개선을 거친 후에도 객체의 움직임에 의한 오자는 프레임이 지날수록 계속 누적되고 특히 움직임이 갑자기 커지는 프레임에서는 객체개선의 의미가 없어지게 된다. 이것은 부호화속에서 한 프레임마다 복원된 좌우영상의 PSNR을 구해서 분석값보다 작으면 가존 객체를 다시 구해서 전송함으로써 해결된다. 객체개선과정에서 추가될 정보량은 새로운 객체에 대한 정보와 분할된 객체에 대한 정보이다.

IV. 실험 및 결과

384×384 크기를 가지는 25프레임의 'man'과 640×512 크기의 25프레임의 'aqua' 영상이 실험에 사용되었다. 실험에 사용된 스네리오 영상은 극상선(epipolar line) 제한 조건을 만족시키므로 일차원 탐색만을 수행하여 변이 예측을 하였다. 그림 3의 (d)에서 'man' 영상의 기준객체 개수는 17개이고 객체개선에 의해 그 개수는 20, 23, 31로 증가한다. 단 이 경우 객체크기 제한은 50화소이다.

'man' 영상은 변이가 -100에서 -40의 범위 내에 있는데 반면 움직임은 범위가 훨씬 좁다. 그렇기 때문에 움직임정보로 복원된 우영상이 변이정보와 우영상의 움직임정보로 복원된 좌영상보다 더 좋은 화질을 나타낸다. 표에서도 1. 사실을 확인할 수 있다. 'aqua' 영상의 경우 변이가 -15에서 0의 범위 내에 있어서 복원된 좌영상의 화질이 우영상에 비해 떨어지지 않는다. 그림 4와 5로부터 객체기반 부호화로 복원한 영상에서는 각각 기반 부호화에서 나타나는 불특화현상이나 모스카토현상이 나타나지 않고 정확한 경계부분을 복원한다.

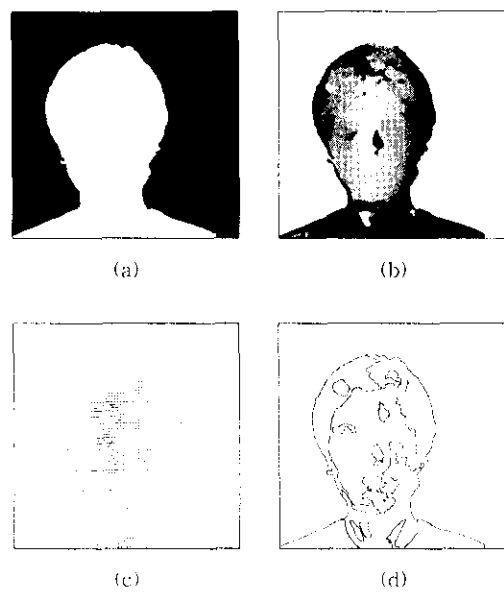


그림 3. 'man' 스템프오 영상. (a) 전처리과정의 결과 영상 (b) 객체추출을 위해 예측된 변이도 (c) 예측된 광류 (d) 추출된 객체도

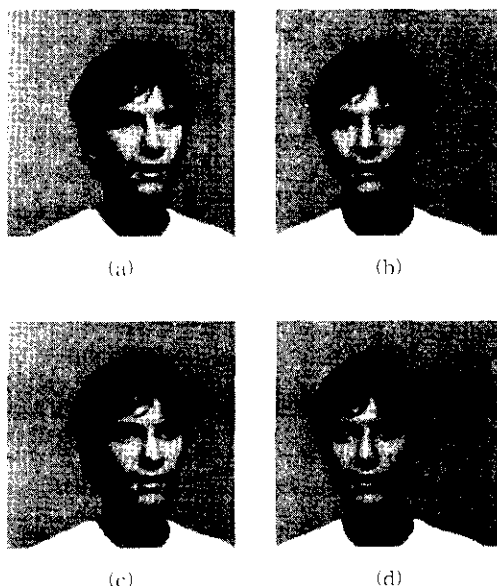


그림 4. 'man' 스테레오 영상. (a) 원래의 두 번째 프레임 좌영상. (b) 원래의 두 번째 프레임 우영상. (c) 예측된 두 번째 프레임 좌영상. (d) 예측된 두 번째 프레임 우영상

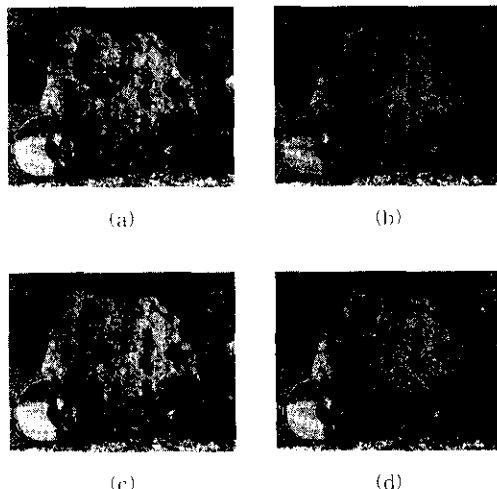


그림 5. 'aqua' 스테레오 영상. (a) 원래의 두 번째 프레임 좌영상. (b) 원래의 두 번째 프레임 우영상. (c) 예측된 두 번째 프레임 좌영상. (d) 예측된 두 번째 프레임 우영상

표 1. 'man' 스테레오 영상에 대한 PSNR.

	LEFT	RIGHT
2nd frame	41.359759	45.120504
3rd frame	38.588379	43.359591
4th frame	36.089604	40.349291

표 2. 'aqua' 스테레오 영상에 대한 PSNR.

	LEFT	RIGHT
2nd frame	42.110204	39.679823
3rd frame	37.338991	37.716877
4th frame	36.991370	36.991370

V. 결론

본 논문에서는 스테레오 영상 무호화 기법을 제안하였다. 제안된 무호화기는 움직임, 범위, 그리고 밝기 정보를 이용하여 객체를 추출하고 객체의 움직임과 범위 정보를 예측하여 무호화함으로써 객체기반 무호화기를 구현했다. 무호화시 새로운 객체생성 방법을 제안함으로써 새롭게 발생되는 양의와 기존 영역의 소멸 및 변형에 의한 무호화 효율저하를 줄일 수 있었다. 또한 친처리과정을 통하여 움직임 및 범위 정보 예측이 어려운 영역을 객체추출과정에서 제거하여 영상예측오차를 줄일 수 있었다. 제안된 방법의 실효성과는 객체기반 무호화기가 기존의 물체기반 무호화기에서 나타나는 불확화 및 보스카로 현상을 제거할 수 있고 복원화질과 무호화율을 개선시킬 수 있다는 것을 보여주었다.

참고문헌

- [1] A. Puri, R. V. Kollarits and B. G. Haskell, "Compression of stereoscopic video using MPEG-2," *Critical Reviews conference on Standards and Common Interfaces for Video Information Systems*, published by SPIE, Oct. 1995.
- [2] M. Ebroul Izquierdo, "Stereo image analysis for multi-viewpoint telepresence applications," *Signal Processing Image Communication*, vol. 11, pp. 231-254, 1998.
- [3] Stathis Panis, Manfred Ziegler, and John P. Cosmas, "The use of stereo and motion in a generic object-based coder," *Signal Processing Image Communication*, vol. 9, pp. 221-238, 1997.
- [4] Dimitrios Tzovaras, Nicos Grammalidis, and Michael G. Strintzis, "Disparity field and depth map coding for multiview 3D image generation," *Signal Processing Image Communication*, vol. 11, pp. 205-230, 1998.
- [5] Berthold K.P. Horn and Brian G. Schunck, "Determining Optical Flow," *Artificial Intelligence Laboratory, Massachusetts Institute of Technology, Cambridge, MA 02139, U.S.A.*, vol. 17, pp. 185-203, 1981.